

بررسی پارامترهای موثر بر تنش و جابجایی در ورقهای موجدار متقارن محوری

رضا سلامی ناصریان^۱، وحید کدخدائی^۲

(تاریخ دریافت: ۱۷/۳/۱ - تاریخ پذیرش: ۱۷/۹/۲)

چکیده: در این مقاله ورقهای موجدار متقارن محوری تحت فشار، با روش المان محدود مورد بررسی قرار گرفته‌اند. به این صورت که نصف سطح مقطع این ورقها در نظر گرفته شده، سپس بصورت مثلثی المان بندی و روی آن فشار در نظر گرفته شده است. در ادامه با استفاده از معادلات حاصل و نرم افزار ویژوال بیسیک یک برنامه رایانه‌ای تهیه شده است که مشخصات ورق مورد نظر مانند قطر، ضخامت، جنس، فشار و شکل سطح مقطع جسم به صورت فایل اتوکد را به عنوان ورودی دریافت کرده و مقادیر تنش و جابجایی حداکثر را محاسبه می‌نماید. در نهایت مقادیر محاسبه شده توسط برنامه فوق با مقادیر آزمایشگاهی مقایسه و مشخص می‌شود که نتایج این تحقیق از دقت قابل قبولی برخوردار است. سپس پارامترهای مختلفی که بر مقدار تنش و جابجایی تاثیر دارند، تغییر داده شده اند و نتایج این تغییرات بررسی شده است.

واژه‌های کلیدی: روش المان محدود، متقارن محوری، ورق موجدار

Study of Effective Parameters on Stress and Displacement of Axisymmetric Corrugated Diaphragms

Reza Salami Naserian, Vahid Kadkhodaei

Abstract: In this paper, the axisymmetric corrugated diaphragm using finite element method will be discussed, so that half of these diaphragms' cross sections and later the applied pressure will be considered. Following this, using the consequent equations and visual basic software, a computer program will be provided which receives the diaphragms' particulars such as diameter, thickness, pressure and the form of object's cross section as AutoCAD file and then it measures the maximal stress and displacement. Finally, the calculated values will be compared with the experimental values and Theoretical results using the above program and then it will become clear that the results of this research enjoy the acceptable precision. Then, the various parameters which have an influence on the displacement and stress are changed and the results of these changes will be investigated.

Keywords: Finite Element Method, Axisymmetric, Corrugated Diaphragm

۱. استادیار، دانشکده مهندسی مکانیک، دانشگاه آزاد اسلامی واحد سمنان (rezasalamin@gmail.com)

۲. دانشجوی کارشناسی ارشد، دانشکده مهندسی مکانیک، دانشگاه آزاد اسلامی واحد سمنان (vk_sama@yahoo.com)

$$\Pi = 2\pi \left(\begin{array}{l} \frac{1}{2} \int_A e^T DrdA - \\ \int_A \delta^T f_b rdA - \\ \int_A \delta^T f_b rdL \end{array} \right) \sum \delta_i^T P_i \quad (2)$$

که متغیرها بصورت زیر می‌باشند:

$$\begin{aligned} \delta &= \{ u, w \}^T, \quad f_b = \{ f_{br}, f_{bz} \}^T, \\ f_s &= \{ f_{sr}, f_{sz} \}^T, \quad P_i = \{ P_{ir}, P_{iz} \}^T \end{aligned} \quad (3)$$

در این حالت رابطه تغییر شکل نسبی و تغییر مکان به شکل زیر می‌باشد [۱۱]:

$$\epsilon = \{ \epsilon_r, \epsilon_z, \gamma_{rz}, \epsilon_\theta \}^T = \left\{ \frac{\partial u}{\partial r}, \frac{\partial w}{\partial z}, \frac{\partial u}{\partial z} + \frac{\partial w}{\partial r}, \frac{u}{r} \right\}^T \quad (4)$$

سه مؤلفه اول تانسور کرنش مطابق تعریف‌های معمول است. تنها مؤلفه چهارم دارای قالبی دیگر است. این مؤلفه مطابق رابطه زیر قابل استخراج می‌باشد:

$$\epsilon = \frac{\Delta(rd\theta)}{rd\theta} = \frac{(r+u) d\theta - rd\theta}{rd\theta} = \frac{ud\theta}{rd\theta} = \frac{u}{r} \quad (5)$$

تانسور تنش و روابط تنش - تغییر شکل نسبی به شکل زیر است:

$$\sigma = \{ \sigma_r, \sigma_z, \sigma_{rz}, \sigma_\theta \}^T \quad (6)$$

$$\sigma = D\epsilon \quad (7)$$

در این حالت D یک ماتریس (4×4) است که به فرم زیر نوشته می‌شود [۱۱]:

$$D = \frac{E(1-v)}{(1+v)(1-2v)} \begin{bmatrix} 1 & \frac{v}{1-v} & 0 & \frac{v}{1-v} \\ \frac{v}{1-v} & 1 & 0 & \frac{v}{1-v} \\ 0 & 0 & \frac{1-2v}{2(1-v)} & 0 \\ \frac{v}{1-v} & \frac{v}{1-v} & 0 & 0 \end{bmatrix} \quad (8)$$

در رابطه فوق به ترتیب مدول الاستیستیه و ضریب بواسون می‌باشد.

در این قسمت سطح مقطع جسم به المانهای مثلثی شکل تقسیم می‌شود. سطح تقسیم شده، سطحی است که از دوران آن حول محور Z جسم حاصل می‌گردد. اگر یک المان مثلثی مطابق شکل (۲) در نظر گرفته شود، آنگاه «توابع شکل»^۱ بصورت زیر تعریف می‌شوند [۱۲]:

$$N_1 = \xi = \frac{A_1}{A}, \quad N_2 = \eta = \frac{A_2}{A}$$

$$N_3 = 1 - \xi - \eta = \frac{A_3}{A} \quad (9)$$

ξ و η در رابطه فوق مختصات محلی می‌باشند که در شکل (۲) نشان داده شده‌اند.

۱. مقدمه

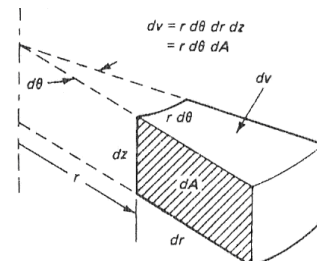
ورقهای موجدار متقارن محوری امروزه در صنعت کاربرد فراوانی دارند. دیافراگمهای که خود نوعی از این ورقهای می‌باشند [۱]، در میکروماشینهای [۲]، میکروپیمپهای [۴] و [۳] و بخصوص در میکروفونهای [۵-۷] بسیار مورد استفاده قرار می‌گیرند. از طرفی این گونه ورقهای با خاطر شکل فیزیکی خود قابلیت تغییر شکل و جابجایی مورد نظر را برای استفاده در حسگرها دارند. به همین دلیل این قطعات موارد استفاده زیادی در انواع حسگرها از قبیل فشارسنج‌ها [۸] و حسگرهای صوتی [۹] دارند. برای تحلیل این قطعات، روشهای مختلفی تاکنون مورد استفاده قرار گرفته است [۱۰] که روش المان محدود [۷] و [۶] نیز یکی از این روشهای است که به دلیل دقت بالا می‌تواند انتخاب خوبی برای تحلیل ورقهای موجدار متقارن محوری باشد. در برخی مقالات بدیلیل بررسی چندین شکل و جنس، لازم است با توجه به روش مورد استفاده، برنامه‌ای رایانه‌ای تهیه و استفاده شود [۱۰]. در اینجا نیز نهایتاً توسط روش المان محدود و نرم افزار ویژوال بیسیک، برنامه‌ای نوشته می‌شود که تنش و جابجایی حداکثر را بر حسب فشار وارد بر ورق مشخص می‌کند که می‌توان با استفاده از نتایج این مقاله، این گونه قطعات را بررسی و طراحی کرد.

۲. تئوری

با توجه به تقارن این گونه اجسام حول یک محور، تنشها و کرنشها به دوران θ بستگی نخواهند داشت، بنابراین می‌توان این گونه مسائل را مسائلی دو بعدی در صفحه $I-Z$ در نظر گرفت.

اگر یک جزء کوچک در نظر گرفته شود (شکل ۱)، انرژی پتانسیل را می‌توان بصورت رابطه (۱) در نظر گرفت [۱۱]:

$$\Pi = \frac{1}{2} \int_0^{2\pi} \int_A \epsilon^T DrdAd\theta - \int_0^{2\pi} \int_A \delta^T f_b rdAd\theta - \int_0^{2\pi} \int_L \delta^T f_b rdAd\theta - \sum \delta_i^T P_i \quad (1)$$



شکل ۱. یک جزء کوچک از ورق موجدار متقارن محوری

در صورتی که $drdz$ برابر سطح جزء بوده و P یک نیروی گستردگی روی محیط یک دایره روی سطح جانبی جسم است. لازم به توضیح است که در این حالت کلیه متغیرها مستقل از θ می‌باشند. بنابراین رابطه (۱)، به شکل زیر نوشته می‌شود.

$$\begin{Bmatrix} \frac{\partial w}{\partial r} \\ \frac{\partial w}{\partial z} \end{Bmatrix} = J^{-1} \begin{Bmatrix} \frac{\partial w}{\partial \xi} \\ \frac{\partial w}{\partial \eta} \end{Bmatrix} \rightarrow \begin{Bmatrix} \frac{\partial w}{\partial \xi} \\ \frac{\partial w}{\partial \eta} \end{Bmatrix} = J \begin{Bmatrix} \frac{\partial w}{\partial r} \\ \frac{\partial w}{\partial z} \end{Bmatrix} \quad (20)$$

$$J^{-1} = \frac{1}{\det J} \begin{bmatrix} z_{23} & -z_{13} \\ -r_{23} & r_{13} \end{bmatrix} \quad (21)$$

رابطه تغییر شکل نسبی - تغییر مکان را می‌توان به صورت ماتریس زیر نوشت:

$$\boldsymbol{\varepsilon}^e = B \hat{\boldsymbol{\delta}}_e \quad (22)$$

در این رابطه ماتریس تغییر شکل نسبی - تغییر مکان جزء یعنی B در اندازه (4×6) به شکل زیر است [۱۲] :

$$B = \begin{bmatrix} \frac{z_{23}}{\det J} & 0 & \frac{z_{31}}{\det J} & 0 & \frac{z_{12}}{\det J} & 0 \\ 0 & \frac{r_{32}}{\det J} & 0 & \frac{r_{13}}{\det J} & 0 & \frac{r_{21}}{\det J} \\ \frac{r_{32}}{\det J} & \frac{z_{23}}{\det J} & \frac{r_{13}}{\det J} & \frac{z_{31}}{\det J} & \frac{r_{21}}{\det J} & \frac{z_{12}}{\det J} \\ \frac{N_1}{r} & 0 & \frac{N_2}{r} & 0 & \frac{N_3}{r} & 0 \end{bmatrix} \quad (23)$$

چون در قطعات موردن بررسی نیروهای جرمی بسیار ناچیزند و از طرفی نیروهای مرکز نداریم، با حذف جملات دوم و چهارم از رابطه (۲)، در نهایت انرژی پتانسیل کلی روی جسم را می‌توان بصورت جمع انرژیهای پتانسیل اجزاء و به شکل زیر نوشت:

$$\Pi = \sum_e 2\pi \left[\frac{1}{2} \int_e \boldsymbol{\varepsilon}^T D \boldsymbol{\varepsilon} r dA - \int_e \boldsymbol{\delta}^{eT} f_s r dL \right] \quad (24)$$

جمله مربوط به انرژی پتانسیل ناشی از تغییر شکل های نسبی بصورت زیر خواهد بود:

$$U_e = \frac{1}{2} \hat{\boldsymbol{\delta}}^{eT} \left[2\pi \int_e B^T D B r dA \right] \hat{\boldsymbol{\delta}}^e \quad (25)$$

که جمله داخل پرانتز در اصل همان ماتریس سختی جزء است:

$$k_e = 2\pi \int_e B^T D B r dA \quad (26)$$

برای سهولت در محاسبات همیشه مقدار ماتریسهای B و k بطور متوسط در مرکز المان محاسبه می‌گردند. در مرکز المان می‌توان نوشت:

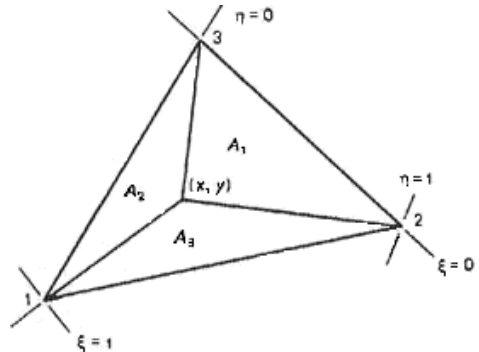
$$\bar{r} = \frac{r_1 + r_2 + r_3}{3} \quad \text{و} \quad N_1 = N_2 = N_3 = \frac{1}{3} \quad (27)$$

همچنین برای مرکز المان مثلثی تعریف شود: \bar{B} ، شاعر مرکز المان مثلثی است. در صورتی که ماتریس \bar{r}

$$k_e = 2\pi \bar{r} \bar{B}^T D \bar{B} \int_e dA \quad (28)$$

$$k_e = 2\pi \bar{r} A_e \bar{B}^T D \bar{B} \quad (29)$$

برابر حجم جزء حاصل از دوران المان مثلثی باشد، داریم: $2\pi \bar{r} A_e$ و همچنین:



شکل ۲. نمونه ای از یک المان مثلثی

در صورتی که سه تابع شکل مربوط به سه گره مثلث با N_1 , N_2 و N_3 بیان شوند، می‌توان نوشت:

$$\boldsymbol{\delta}^e = N \hat{\boldsymbol{\delta}}^e \quad (10)$$

$$N = \begin{bmatrix} N_1 & 0 & N_2 & 0 & N_3 & 0 \\ 0 & N_1 & 0 & N_2 & 0 & N_3 \end{bmatrix} \quad (11)$$

$$\hat{\boldsymbol{\delta}}^e = \{\hat{\delta}_1^e, \hat{\delta}_2^e, \hat{\delta}_3^e, \hat{\delta}_4^e, \hat{\delta}_5^e, \hat{\delta}_6^e\} \quad (12)$$

حال اگر از المان مثلثی با تغییر شکل نسبی ثابت استفاده شود، همانند المان مثلثی در حالت دو بعدی توابع شکل از درجه یک خواهد بود و مؤلفه‌های تغییر شکل بصورت زیر می‌باشند:

$$u = \xi \hat{\delta}_1^e + \eta \hat{\delta}_3^e + (1 - \xi - \eta) \hat{\delta}_5^e \quad (13)$$

$$w = \xi \hat{\delta}_2^e + \eta \hat{\delta}_4^e + (1 - \xi - \eta) \hat{\delta}_6^e \quad (14)$$

المانها ایزو پارامتریک (همگام) هستند، پس می‌توان نوشت:

$$r = \xi r_1 + \eta r_2 + (1 - \xi - \eta) r_3 \quad (15)$$

$$r = \xi z_1 + \eta z_2 + (1 - \xi - \eta) z_3 \quad (16)$$

جهت بدست آوردن مشتقات پاره‌ای مؤلفه‌های تغییر مکان می‌توان از قاعدة مشتقات زنجیره‌ای استفاده نمود. در این صورت:

$$J = \begin{bmatrix} \frac{\partial r}{\partial \xi} & \frac{\partial z}{\partial \xi} \\ \frac{\partial r}{\partial \eta} & \frac{\partial z}{\partial \eta} \end{bmatrix} \quad (17)$$

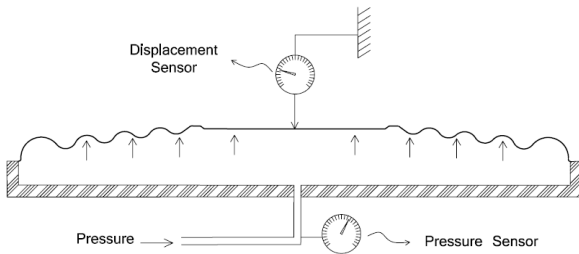
J ماتریس ژاکوبین بوده و رابطه آن بصورت زیر است:

$$J = \begin{bmatrix} r_{13} & z_{13} \\ r_{23} & z_{23} \end{bmatrix} \quad (18)$$

پس دترمینان این ماتریس به این صورت است: $z_{ij} = z_i - z_j$ و

$r_{ij} = r_i - r_j$ که در ماتریس فوق:

$$\det J = r_{13} z_{23} - r_{23} z_{13} \quad (19)$$



شکل ۴. طرح شماتیک سیستم آزمایشگاهی

همانطور که در شکل فوق مشاهده می شود ابتدا ورق موجود را در دستگاه بسته می شود. سپس از قسمت پایین هوا با فشار وارد سیستم می شود که این فشار توسط یک حسگر که در مسیر قرار دارد اندازه گیری می شود. با افزایش فشار، جابجایی حداکثر ورق که در مرکز آن می باشد نیز افزایش پیدا می کند.

در مراحل افزایش فشار، مقدار فشار و جابجایی حداکثر ورق از روی حسگرهای فشار و جابجایی که به ترتیب در پایین و بالای سیستم نصب شده اند، خوانده شده است که این مقادیر در جدول (۱) مشاهده می شود.

جدول ۱. مقادیر تجربی

فشار (bar)	جابجایی (mm)
2	0.22
3	0.36
4	0.49
5	0.64
6	0.76
7	0.88

۲-۳. نتایج تئوری

برای تسريع و سهولت انجام محاسبات با استفاده از روش المان محدود و نرم افزار ویژوال بیسیک، برنامه ای تهیه شده است که برای المان بندی ها، فشارها، جنس ها و اشکال مختلف موج، مقادیر جابجایی و تنش را بصورت خروجی می دهد.

مزیت مهم برنامه نوشته شده با این روش آن است که برای تحلیل هر ورق مورد نظر، فقط کافی است که شکل سطح مقطع و سایر مشخصات ورق به برنامه داده شود تا جابجایی و تنش آن محاسبه شود. در این قسمت، ورق شکل (۳) که در قسمت قبل در آزمایشگاه مورد تست قرار گرفت، ورق به برنامه داده شده با این روش المان محدود یعنی با استفاده از برنامه رایانه ای تهیه شده، تحلیل شد. مقادیر بدست آمده، در شکل (۵)، مشاهده می شوند.

$$A_e = \frac{1}{2} |\det J| \quad (30)$$

بطور مشابه می توان مقادیر نیروهای سطحی را بطور متوسط در مرکز جزء بدست آورد. قابل ذکر است که برای بدست آمدن دقت بیشتر، اجزاء نزدیک به محور تقارن کوچکتر انتخاب می شوند.

اگر دو مؤلفه نیروی سطحی روی لبه ۲-۱ المان مثلثی (شکل ۲)

باشد، آنگاه $f_{sz} f_{sr} : ۱۲$ اگر $2\pi \int_{le}^e \delta^{et} f_s r dL = \delta^{et} f_s^e = 2r \int_{le}^e \delta^{et} N^T f_s [N_1 r_1 + N_2 r_2] dl =$ $2\pi \delta^{et} f_s \int N^T (N_1 r_1 + N_2 r_2) dl$ $\quad (31)$

با اعمال بارهای سطحی (فشار) و اعمال شرایط مرزی و تغییر ماتریس سختی و حذف سطر و ستونهای قابل حذف و به حداقل رسانیدن انرژی پتانسیل سیستم، در نهایت نتیجه ها بصورت یک دستگاه معادلات بصورت زیر خواهد شد:

$$[K] \times [\delta] = [F] \quad (32)$$

و اینکه شرایط مرزی تنها برای مرزهای سطح دوران کننده در نظر گرفته می شود. در معادلات فوق ماتریس δ در اصل ماتریس کل جابجاییهای گرهها است که از اسمبل کردن ماتریسهای جابجایی تمام المانها حاصل می شود و با حل دستگاه فوق بدست خواهد آمد. برای حل دستگاه معادلات فوق روشهای مختلفی وجود دارد که در اینجا از روش گوس - جردن برای حل استفاده شده است، زیرا با این روش مدت زمان کوتاهتری برای رسیدن به جواب لازم است. در ادامه، از رابطه زیر، کرنش و سپس تنش محاسبه می شود:

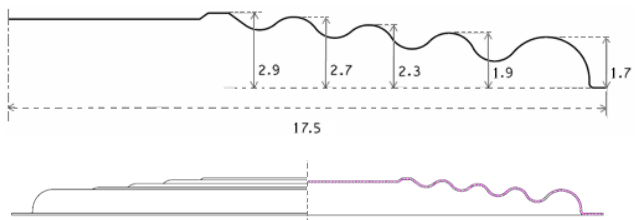
$$\varepsilon = B \hat{\delta}^e \rightarrow \sigma = D \varepsilon \quad (33)$$

۳. بررسی دقت نتایج

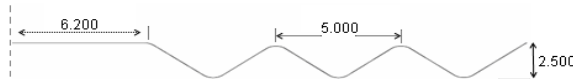
۱-۳. نتایج تجربی

برای بررسی دقت جوابهای روش تئوری ذکر شده چندین نمونه ورق موجود را مقارن محوی انتخاب شده و در آزمایشگاه مورد تست قرار گرفته است که نمونه ای از آن در شکل (۳) مشاهده می شود.

این ورق با جنس نیکل و ضخامت 0.3 mm تحت فشارهای مختلف قرار گرفت و جابجایی های حداکثر که در مرکز ورق ایجاد می شود اندازه گیری شد. در شکل (۴)، یک طرح شماتیک از سیستم آزمایشگاهی رسم شده است.



شکل ۳. قطعه انتخابی برای تحلیل با سطح مقطع نشان داده شده با موج دایره ای (اندازه ها به mm)

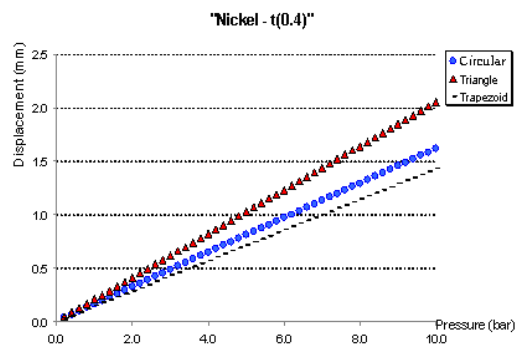


شکل ۸. شکل موج مثلثی (اندازه‌ها به mm)

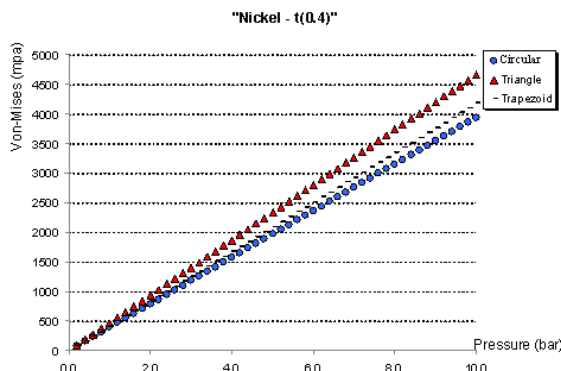


شکل ۹. شکل موج ذوزنقه‌ای (اندازه‌ها به mm)

در مرحله بعد، تغییر در جنس برای نیکل و فولاد و سپس تغییر در ضخامت ورق بررسی شده است (شکل‌های ۱۰ و ۱۱). قابل ذکر است که تنش‌ها براساس معیار ون مایزز محاسبه شده است.

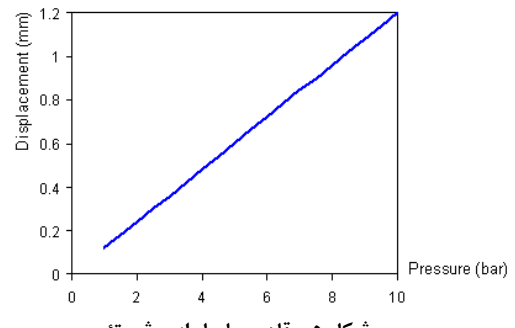


شکل ۱۰. جابجایی-فشار، نیکل با ضخامت ۰/۴ mm (موجه‌های مختلف)



شکل ۱۱. تنش-فشار، نیکل با ضخامت ۰/۴ mm (موجه‌های مختلف)

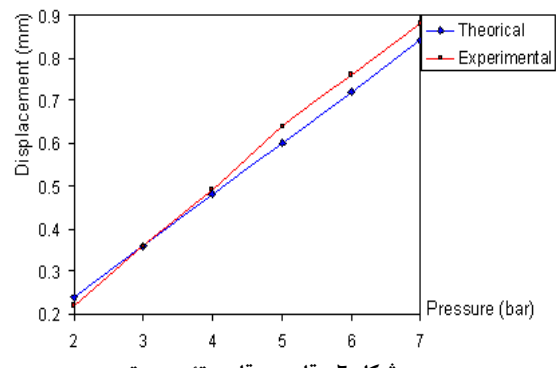
همانطور که در شکل‌های (۱۰) و (۱۱) مشاهده می‌شود موج مثلثی نسبت به دو موج دیگر بررسی شده از جابجایی و تنش بیشتری برخوردار است. با توجه به شکل (۱۲)، ورق با موج دایره‌ای و جنس نیکل نسبت به همان ورق با جنس فولاد از جابجایی بیشتری برخوردار است. ولی با مقایسه تنش برای همین نمونه‌ها در شکل (۱۳)، مشاهده می‌شود که تنش آنها تقریباً یکسان است.



شکل ۵. مقادیر حاصل از روش تئوری

۳-۳. مقایسه مقادیر تئوری و تجربی

در بخش‌های ۱-۳ و ۲-۳، ورق شکل (۳) توسط روش تجربی و تئوری مورد تحلیل قرار گرفت که نتایج آنها در جدول (۱) و شکل (۵) آورده شده است. در ادامه برای بررسی میزان تطابق مقادیر بدست آمده از این دو روش، منحنی آنها در شکل (۶) با یکدیگر مقایسه شده اند.



شکل ۶. مقایسه مقادیر تئوری و تجربی

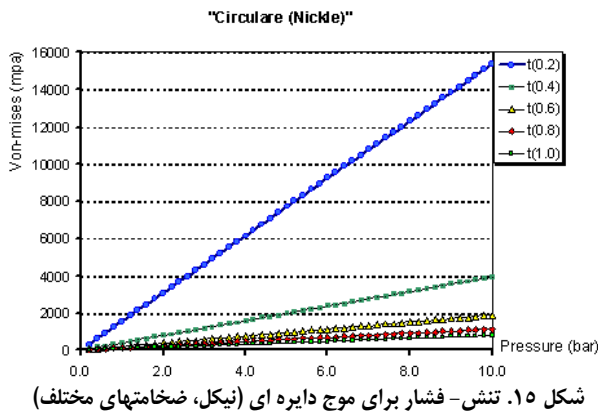
با توجه به مقادیر حاصل از روش المان محدود و مقایسه آنها با مقادیر آزمایشگاهی، مشاهده می‌شود که نتایج به واقعیت با تقریب خوبی نزدیک است، زیرا میانگین خطای $\frac{1}{4}\%$ است که بنهای بخشی از آن مربوط به خطای ابزارهای آزمایشگاهی می‌باشد. پس با توجه به دقت روش المان محدود، نتایج حاصل از تحلیل با این روش قابل استناد است.

۴. تغییر در پارامترهای موثر

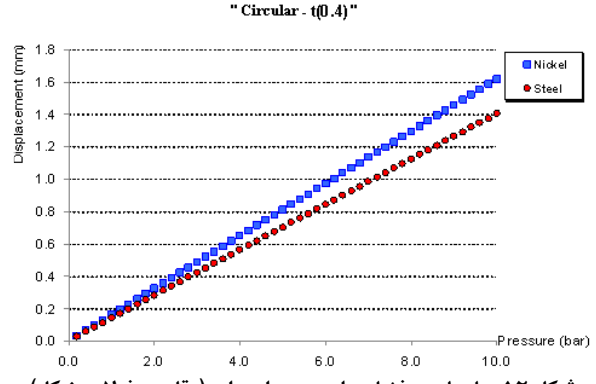
در این تحقیق تغییرات زیادی در پارامترهای مختلف ایجاد شده و نتایج حاصل بررسی شده است که در ادامه چند مورد از موثرترین پارامترها به عنوان نمونه بررسی شده‌اند. ابتدا نمودارهای حاصل از تحلیل ورق با تغییر در پارامتر نوع موج شامل، ۳ نوع موج دایره‌ای، مثلثی و ذوزنقه‌ای رسم شده است. موج دایره‌ای، موج مثلثی و موج ذوزنقه‌ای در شکل‌های (۷)، (۸) و (۹) رسم شده است.



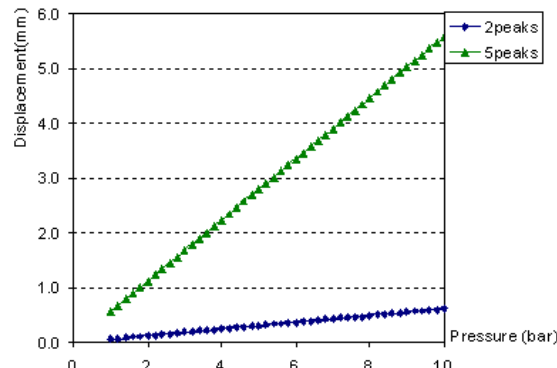
شکل ۷. شکل موج دایره‌ای (اندازه‌ها به mm)



شکل ۱۵. تنش- فشار برای موج دایره ای (نیکل، ضخامت‌های مختلف)



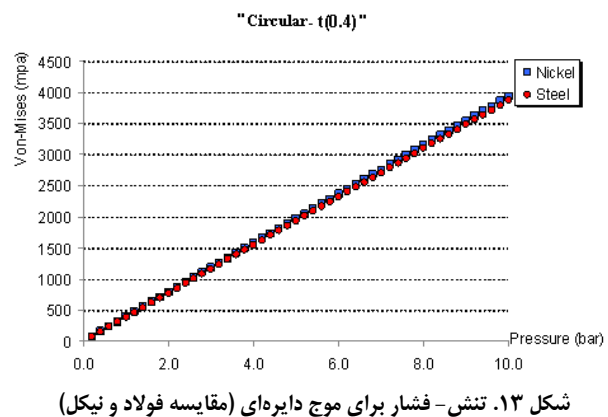
شکل ۱۲. جابجایی- فشار برای موج دایره ای (مقایسه فولاد و نیکل)



شکل ۱۶. جابجایی- فشار برای موج دایره ای (فولاد، تعداد قله های مختلف)

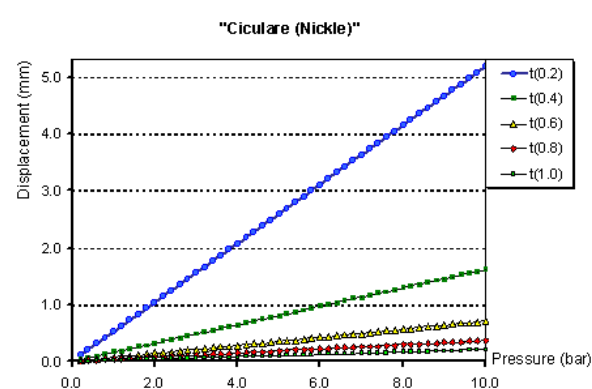
در شکل (۱۶) مشاهده می شود که ایجاد تغییرات در تعداد قله های موج، تأثیر قابل توجهی بر مقدار جابجایی در ورقهای موجدار متقاضان محوری دارد. همچنین در شکل (۱۷)، همین شدت تأثیر بر میزان تنش در این ورقها مشاهده می شود، به این صورت که افزایش تعداد قله های موج باعث افزایش شدید در میزان جابجایی و تنش در ورق می شود. عامل موثر دیگری که در موجهای دایره ای مطرح است، ارتفاع قله های موج است. در ادامه، موج دایره ای با ارتفاع ۱.۲، ۱.۴ و ۱.۶ برابر شکل (۷)، مورد بررسی قرار گرفته اند و نتایج در شکل های (۱۸) و (۱۹) رسم شده است.

در شکل (۱۸) مشاهده می شود که با افزایش در ارتفاع قله های موج، از مقدار جابجایی در ورقهای موجدار متقاضان محوری کاسته می شود. همچنین در شکل (۱۹) نیز مشاهده می شود که افزایش ارتفاع قله های موج باعث کاهش مقدار تنش در این ورقها می شود. همچنین قابل ذکر است، شکل های (۱۲) تا (۱۹) که در اینجا برای موج دایره ای رسم شده اند، برای انواع دیگر موج نیز رسم شده اند که به عنوان نمونه در این قسمت موج دایره ای آورده شده است.



شکل ۱۳. تنش- فشار برای موج دایره ای (مقایسه فولاد و نیکل)

با بررسی اثر ضخامت در شکل های (۱۴) و (۱۵)، همانطور که انتظار می رفت، مشاهده می شود که با افزایش ضخامت ورق، جابجایی و تنش کاهش می یابد. در ادامه برای موج دایره ای، پارامترهای تعداد قله های موج و ارتفاع موج تغییر داده است. ابتدا ورق با سطح مقطع موجی دایره ای شکل با ۲ و ۵ قله تحلیل شده و نتایج در شکل های (۱۶) و (۱۷) رسم شده است.



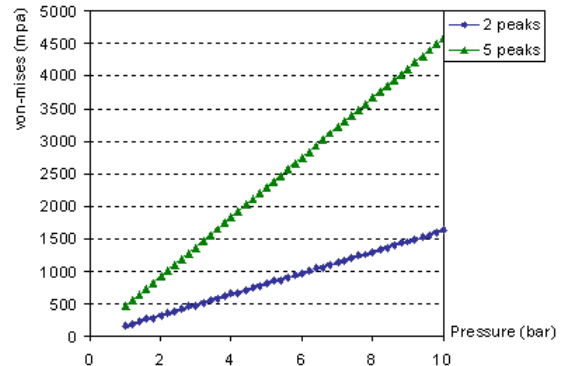
شکل ۱۴. جابجایی- فشار برای موج دایره ای (نیکل، ضخامت‌های مختلف)

در تنش و جابجایی دارد و تغییر در ارتفاع قله‌های موج از تأثیر کمتری نسبت به تغییر در تعداد قله‌های آن برخوردار است.

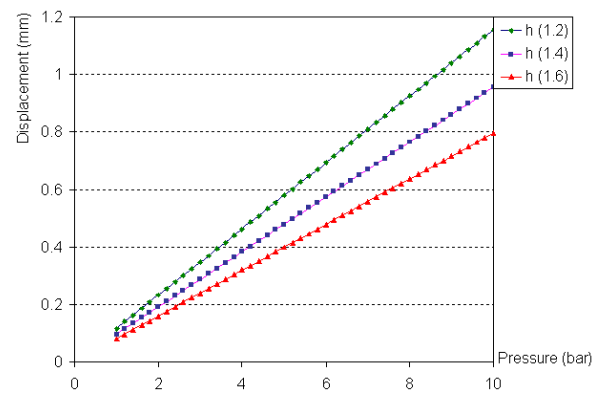
پس برای طراحی ورقهای موجود متقاض مخوری، استفاده از نتایج این مقاله و ترکیبی از تغییرات در پارامترهای مختلف که بستگی به شرایط طراحی دارد، پیشنهاد می‌شود.

مراجع

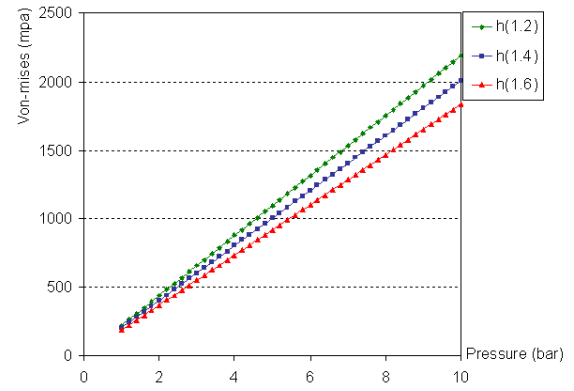
- [1] Li, X., Lin, R., Kek, H., Miao, J., and Zou, Q., "Sensitivity-improved silicon condenser microphone with a novel single deeply corrugated diaphragm", Sensors and Actuators, No. 92, pp. 257-262, 2001.
- [2] Soin, N. and Majlis, B. Y., "Development of perfect silicon corrugated diaphragm using anisotropic etching", Microelectronic Engineering, No. 83, pp.1438-1441 , 2006.
- [3] Jang, W. I. and Choi, C. A., "Surface micromachined thermally driven micropump", Sensors and Actuators, No. 115, pp.151-158, 2004.
- [4] Jeong, O. C. and Yang, S. S., "Fabrication and test of a thermopneumatic micropump with a corrugated p+ diaphragms", Sensors and Actuators, No. 83, pp. 249-255, 2000.
- [5] Kressman, R., Klaiber, M. and Hess, G.," Siliocon condenser microphones with corrugated silicon oxide/nitride electrets membranes", Sensors and Actuators, No. 100, pp. 301-309, 2002.
- [6] Scheeper, P., Donk, A., and Olthuis, W., "A review of silicon microphones", Sensors and Actuators, Vol. 44, No. 1, pp.1-11, 1994.
- [7] Zappe, Z., Obermeier, E., Moller, H., Krotz, G., and Mennozi, "Piezoresistive pressure sensor for high temperature and high pressure applications", Transducers, Sendai, Japan, pp.346-349, 1999.
- [8] Sessler, G., "Acoustic sensors", Sensors and Actuators, Vol. 25, pp. 323-330, 1991.
- [9] Li, X., Lin, R., Kek, H., Miao, J., and Zou, Q., "Sensitivity-improved silicon condenser microphone with a novel single deeply corrugated diaphragm", Sensors and Actuators, No. 92, pp. 257-262, 2001.
- [10] Brauer, M., Dehe, A., Bever, T., Barzen, S., Schmitt, S., Fuldner, M., and Aigner, R., "Silicon microphone based on surface and Bulk micromachining", J. Micromech. Microeng, No. 11, pp.319-322, 2001.
- [11] Chandrupatla, T., and Belequndu, D., "Introduction to finite element in engineering", Prentice hall of India, 1991.
- [۱۲] صدرنژاد، س. ا، "مقدمه‌ای بر روش اجزاء محدود"، انتشارات دانشگاه صنعتی خواجه نصیرالدین طوسی، ۱۳۸۰.



شکل ۱۷. تنش- فشار برای موج دایره ای (فولاد، تعداد قله های مختلف)



شکل ۱۸. جابجایی- فشار برای موج دایره ای (فولاد، ارتفاع موج های مختلف)



شکل ۱۹. تنش- فشار برای موج دایره ای (فولاد، ارتفاع موجه های مختلف)

۵. نتیجه‌گیری

با بررسی شکل‌های (۱۰) تا (۱۵) مشاهده می‌شود در شرایطی که جنس ورق ثابت است، بیشترین تأثیر مربوط به تغییر در ضخامت ورق بوده و سپس تغییر در نوع موج از تأثیر قابل توجهی برخوردار است. ولی در مواردی که جنس ورق قابل تغییر باشد، تغییر دادن جنس ورق می‌تواند تأثیر بیشتری در جابجایی ورق نسبت به سایر پارامترها داشته باشد. همچنین از شکل‌های (۱۶) تا (۱۹) مشخص است که برای یک نوع موج معین مثل موج دایره‌ای، تغییر در تعداد قله‌های موج تأثیر بسیار زیادی

